

УДК 548.736.62

КРИСТАЛЛОГРАФИЯ

Ю. А. МАЛИНОВСКИЙ, Е. А. ПОБЕДИМСКАЯ, академик Н. В. БЕЛОВ

КРИСТАЛЛИЧЕСКАЯ СТРУКТУРА ТРАСКИТА

Расшифровка кристаллической структуры траскита завершает кристаллохимическое исследование калифорнийской группы новых бариевых минералов, открытых Альфорсом и др. (¹). Коричнево-красные кристаллы этого минерала со стеклянным блеском представлены мелкими (до 0,3 мм) неизометричными зернами с раковистым изломом. По данным (¹) наиболее развиты грани пинакоида {0001} и призмы {1010}, более редки {1122}, {4152} и {6171}. Параметры гексагональной решетки: $a=17,88 \text{ \AA}$, $c=12,30 \text{ \AA}$; $\rho_{\text{изм}}=3,71 \text{ г/см}^3$; возможные федоровские группы (Ф.Г.) $P6/mmm$, $P6mm$, $P622$, $P\bar{6}m2$, $P\bar{6}2m$. Для рентгеновского исследования траскита использован неизометричный обломок ($0,1 \times 0,1 \times 0,2 \text{ mm}^3$), с которого на первом этапе работы — проверке и уточнении параметров решетки и Ф.Г. (в (¹) определенные по порошковой методике) — снимались рентгенограммы качания и развертки слоевых линий. Константы решетки и гексагональная симметрия траскита подтвердились, но на рентгенограмме

Таблица 1

Координаты базисных атомов в структуре траскита

Атомы	x/a	y/b	z/c	Кратность позиций	Атомы	x/a	y/b	z/c	Кратность позиций
Ba ₁	-0,2207	0,2207	0,243	6	O ₆	0,571	-0,571	0	3
Ba ₂	0,4222	-0,4222	0,500	3	O ₇	0,472	0,095	0,179	12
Ba ₃	0,3515	0,3618	0	6	O ₈	0,387	-0,387	0,136	6
Ba ₄	0,5694	-0,5694	0,500	3	O ₉	0,447	-0,447	0	3
Ba ₅	0,2034	-0,2034	0,238	6	O ₁₀	0,377	0,466	0,185	12
A	2/3	1/3	0,271	2	O ₁₁	0,617	-0,617	0,172	6
B	1/3	2/3	0,240	2	Cl ₁	0,185	-0,185	0	3
C	1/3	2/3	0	1	Cl ₂	0,791	-0,791	0	3
D	0,4007	0,4062	0,297	12	OH ₁	0,289	0,302	0,214	12
Si ₁	0,569	-0,569	0,139	6	OH ₂	0,285	-0,285	0,388	6
Si ₂	0,440	-0,440	0,128	6	OH ₃	0,715	-0,715	0,382	6
Si ₃	0,092	0,358	0,500	6	(O, OH) ₄	0,509	-0,509	0,361	6
Si ₄	0,736	0,098	0,500	6	(H ₂ O) ₁	0,878	-0,878	0,246	6
O ₁	0,318	0,418	0,395	12	(H ₂ O) ₂	0,088	-0,088	0	3
O ₂	0,272	0,267	0,500	6	(H ₂ O) ₃	0,864	-0,864	0	3
O ₃	0,833	-0,833	0,500	3	(H ₂ O) ₄	0	0	0,500	1
O ₄	0,169	-0,169	0,500	3	(H ₂ O) ₅	0	0	0	1
O ₅	0,403	0,311	0,385	12					

вращения вдоль оси c выступили «вложенные» диффузные линии, формально увеличивающие период вдвое (т. е. до $24,6 \text{ \AA}$). Таким образом, структуру траскита можно отнести к OD-структурным (²), для которых характерно наличие разупорядоченных структурных блоков. OD-характер структуры траскита определяется, по-видимому, разворотом его структурных элементов вокруг оси z на углы, кратные 60° (возможно 30°).

Структурная расшифровка велась в рамках гексагональной решетки с параметрами $a=17,89(1)$, $c=12,33(1)$ (моноцистальный автодифрактометр Р1 «Синтекс»), $\rho_{\text{выч}}=3,52$, $Z=1$, в рамках Ф.Г. $P\bar{6}m2$. Эксперименталь-

Таблица 2

Межатомные расстояния в структуре траскита, Å

Ba-десятивершинники							
<i>A</i> -октаэдр		<i>B</i> -октаэдр		<i>C</i> -призма		<i>D</i> октаэдр	
Ba ₁ —(OH) ₃ —O ₇ —O ₅ —Cl ₂ —(H ₂ O) ₁ —O ₁₁ —O ₃	2,63 2,69×2 2,70×2 3,02 3,06 3,16×2 3,42	Ba ₂ —(OH) ₂ —O ₁ —(O, OH) ₄	2,76×4 2,83×4 3,20×2	Ba ₃ —O ₁₀ —O ₉ —O ₇ —(OH) ₁ —Cl ₁ —O ₆ —Cl ₂	2,84×2 2,96 3,00×2 3,22×2 3,06 3,49 3,49	Ba ₄ —(O, OH) ₄ —(OH) ₃ —O ₅	2,54×2 2,99×4 3,02×4
Ba ₅ —O ₁ —O ₁₀ —Cl ₁ —(OH) ₂ —(OH) ₁ —O ₈	2,76×2 2,82×2 2,99 3,14 3,32×2 3,51×2						
Si-тетраэдры							
Si ₁ —O ₁₁ —O ₇ O ₁₁ —O ₁₁ (OH) ₃ —(OH) ₃ O ₁₁ —OH ₃	1,96×3 2,03×3 2,67 2,60 3,00	Si ₂ —O ₉ —O ₁₀ O ₉ —O ₈ —O ₁₀ O ₁₀ —O ₈	1,59 1,64×2 1,65 2,51 2,69×2	Si ₃ —O ₄ —O ₁ —O ₂ O ₄ —O ₁ —O ₂ O ₁ —O ₁ —O ₂	1,59 1,64×2 1,69 2,65×2 2,71 2,59 2,73×2	Si ₄ —O ₃ —O ₆ —O ₂ O ₃ —O ₂ —O ₅ O ₅ —O ₂ —O ₅	1,55 1,63×2 1,64 2,54 2,65×2 2,51×2 2,84

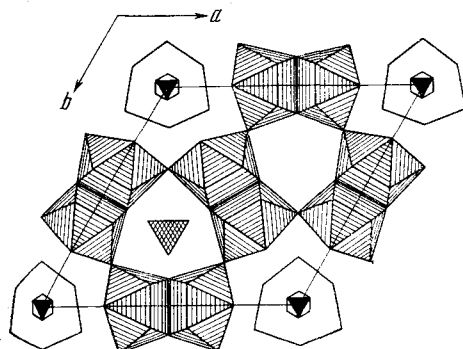


Рис. 1

Рис. 1. Этаж структуры на уровне $z=0$. Штриховкой показан ажурный слой из Ba_5 -полиэдров. Сетчатой штриховкой обозначена крышка тригопальной Ca -призмы. Шестиугольники вокруг начала координат — H_2O -кольца

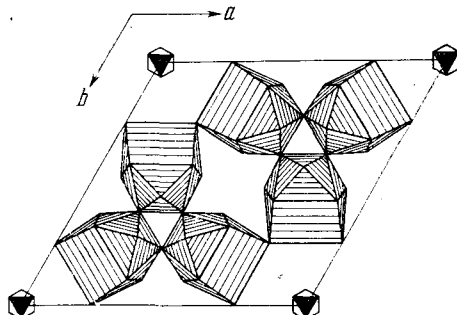


Рис. 2

Рис. 2. Этаж структуры на уровне $z=0.25$. Показаны почти тождественные Ba_4 - и Ba_5 -десятивершинники

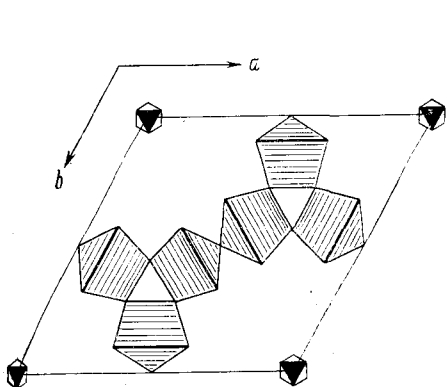


Рис. 3

Рис. 3. Этаж структуры на уровне $z=0.50$. Слой из почти правильных пятиугольных Ba_2 - и Ba_4 -призм, соединенных между собой общими ребрами

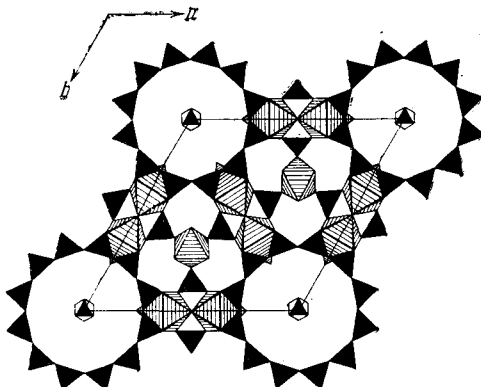


Рис. 4

Рис. 4. «Мелкокатионная» вязь структуры. Черным показан островной кремнекислородный мотив: двенадцатичленные кольца вокруг начала координат и вертикальные Si_2O_7 группы вокруг осей \bar{b} в середине ячейки. Заштрихованные октаэдры заполнены катионами групп A , B и D

ный материал для структурной расшифровки (422 пепулевых независимых отражения) получен на том же дифрактометре (Мо-излучение, графитовый монохроматор, $(2\theta-\theta)$ -метод, переменная, $6^\circ-24^\circ$ в 1 мин., скорость сканирования, $0 \leq h \leq k \leq 19, 0 \leq l \leq 16$). Пересчет интенсивностей в $|F_{hkl}|$ и все последующие вычисления выполнены в Вычислительном центре Московского университета на ЭВМ БЭСМ-4М по программе «Кристалл»⁽³⁾. Поправка на поглощение не вводилась.

Из трехмерной функции Патерсона найдены координаты 24 атомов бария ($R_{hkl}=40\%$). Остальные атомы выявлены серией циклов последовательных приближений. Координаты тяжелых Ba, Fe, Ti уточнены методом наименьших квадратов, но координаты легких атомов Si, Cl, O практически не уточнялись из-за недостаточного числа отражений экспериментального массива (тяжелые и средние атомы структуры размещены в рамках гексагональной голоэдрии). Заключительный фактор расходности $R_{hkl}=0,12$. Координаты базисных атомов и межатомные расстояния приведены соответственно в табл. 1 и 2.

Основу структуры образует трубчатая конструкция из бариевых полизидров. Три этажа этой постройки (в проекции вдоль оси *c*) на рис. 1—3 представлены на каждом уровне однотипными Ва-десятивершинниками. В этаже на нулевом уровне (*z*=0) (рис. 1) находятся Ва-десятивершинники, которые можно представить в виде четырехгранный призмы, с двумя шапочками (полуоктаэдрами) на соседних гранях. Спаренные по общему ребру полизидры создают вокруг осей \bar{b} в центре ячейки дитригональные кольца, сердцевиной которых служит тригональная Са-призма, соединенная с Ва-каркасом вертикально (вдоль *c*) стоящими диортогруппами (рис. 4). Этаж с *z*=0,25 (рис. 2) сложен четырехгранными призмами с центрированными противолежащими гранями. Лунки этого этажа заполнены октаэдрами трех сортов. Наиболее ажурный слой на уровне *z*=0,50 (рис. 3). Крупные полизидры этого слоя — почти правильные пятиугольные призмы — сочленяются друг с другом по вертикальным ребрам и образуют полости (вокруг оси \bar{b}), в которые помещены кольца состава $[Si_{12}O_{36}]$ (рис. 4).

Плоское кольцо такой конфигурации встречено впервые. В отличие от гофрированного двенадцатичленного кольца в $Na_5YSi_4O_{12}$ ⁽⁴⁾ кольцо $[Si_{12}O_{36}]$ в траските высокосимметрично. С большой степенью приближения его симметрии $12/tmm$. Таким образом, трубчатый бариевый каркас траскита цементируется разорванной кремнекислородной вязью: крупные пустоты вокруг начала координат — кольцами $[Si_{12}O_{36}]$, более мелкие пустоты вокруг осей третьего порядка — группами $[Si_2O_7]$ (рис. 4).

Траскит сходен с также аномальным по содержанию Ва калифорнийским силикатом мюиритом $Ba_9(Ca, Ba)(Ca, Ti, Mn)_4(OH)_8[Si_8O_{24}](Cl, OH)_8$ ⁽⁵⁾. Как и для мюириита⁽⁵⁾, следует отметить цеолитоподобность структуры траскита: на уровне *z*=0 вокруг оси \bar{b} помещено кольцо из атомов H_2O (OH, F). В центр этого и кремнекислородного колец вложены молекулы воды.

Аналогично мюириту траскит — сложная система переменного состава $Ba_{24}A_2B_2CD_{12}[Si_{12}O_{36}][Si_2O_7]_6(O, OH)_{30}Cl_6 \cdot 14H_2O$, где *A, B, C, D* — различные кристаллохимические позиции, которые занимают атомы $Ti, Fe, Mn, Ca, Sr, Mg, Al$, в соответствии с химическим анализом, проведенным в⁽¹⁾; результаты этого анализа, пересчитанные с учетом 3,5% Cl, приведены ниже (вес. %):

SiO_2	Al_2O_3	TiO_2	FeO	MnO	MgO	CaO	K_2O	BaO	SrO	Cl	H_2O	Σ
27,30	0,45	5,71	4,46	1,35	0,32	0,89	0,05	53,50	0,35	3,50	2,52	100%

Позиция *A* (октаэдр) заполнена, вероятно, атомами Fe и Ti с расстояниями $Fe-O$ 1,96—2,03 Å, позиция *B* (октаэдр) — атомами Fe , Mn ($Fe-O$ 2,10—2,36 Å), позиция *C* (тригональная призма) — атомами Ca и Sr ($Ca-O$ 2,36 Å), позиция *D* (октаэдр) — атомами Ti, Fe, Mg, Al ($Ti-O$ 1,92—2,20 Å). Таким образом, катионы Ti, Fe, Mn, Ca, Mg лишь заполняют пустоты мощного трехмерного каркаса, который формируют полизидры бария.

В заключение авторы считают своим долгом выразить искреннюю признательность проф. А. Пабсту, любезно предоставившему образцы траскита, Е. П. Железину и М. А. Симонову за участие в получении экспериментального материала, а также М. И. Чирагову за помощь в работе на первом этапе структурной расшифровки.

Московский государственный университет
им. М. В. Ломоносова

Поступило
10 II 1976

ЛИТЕРАТУРА

- ¹ I. T. Alfors, M. C. Stinson et al., Am. Mineral., v. 50, 314 (1965). ² K. Dornberger-Schiff, H. Grell-Nieman, Acta crystallogr., v. 14, 167 (1961). ³ A. B. Товбис, Б. М. Щедрин, Комплекс программ для решения задач структурного анализа кристаллов, М., 1968. ⁴ Б. А. Максимов, Ю. А. Харитонов, Н. В. Бедов, ДАН, т. 213, 1072 (1973). ⁵ Ю. А. Малиновский, Е. А. Победимская, Н. В. Бедов, ДАН, т. 221, 343 (1975).